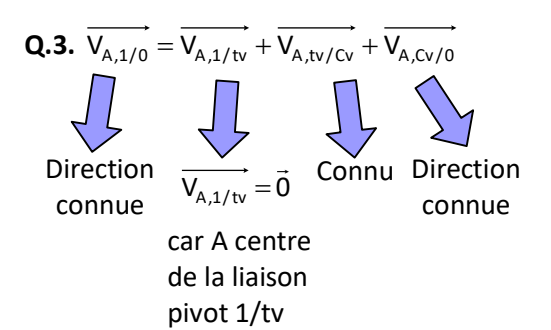
Etude des performances d'un simulateur 3 axes - Corrigé

Q.1. Mouvement de 1/0 : translation circulaire $\rightarrow \overline{\Omega_{1/0}} = \overline{0}$.

Le champ des vitesses du mouvement de 1/0 permet d'écrire que $\overrightarrow{V_{A,1/0}} = \overrightarrow{V_{I,1/0}} = \overrightarrow{V_{A_1,1/0}}$ et

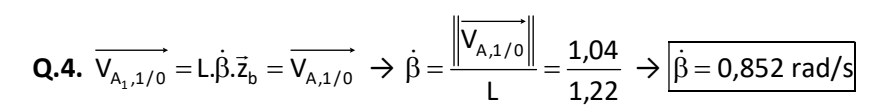
on a
$$\overrightarrow{V_{A_1,1/0}} = \frac{d}{dt} \overrightarrow{O_1 A_1} \Big|_0 = L.\dot{\beta}.\vec{Z}_b$$

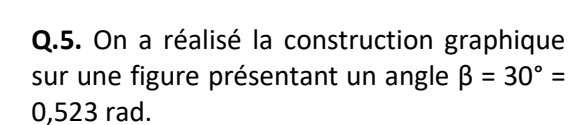
Q.2. $\overrightarrow{V_{A,tv/Cv}}$ a une vitesse de 1 m.s⁻¹ soit 5cm sur la figure.



Graphiquement on obtient:

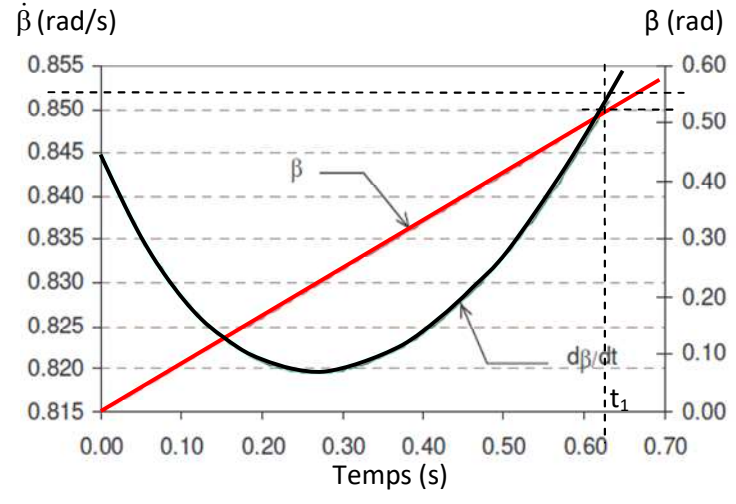
$$\|\overrightarrow{V_{A,1/0}}\| = 1,04 \text{ m/s}$$
 (5,2 cm mesuré)





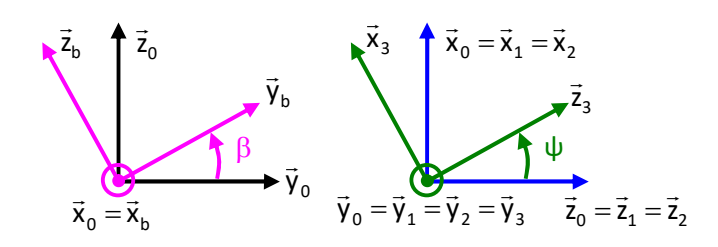
On obtient ainsi le temps $t = t_1$ sur le graphe pour $\beta = 0.523$ rad.

 $\begin{array}{llll} \mbox{Pour} & t & = & t_{\scriptscriptstyle 1}, & \mbox{on lit graphiquement} \\ \hline \dot{\beta} = 0,852 \mbox{ rad/s} & \mbox{ce qui correspond à la} \\ \mbox{valeur trouvée question précédente.} \end{array}$



Q.5. Graphiquement on a $\overrightarrow{V_{A,tv/Cv}}$, $\overrightarrow{z_0}$ qui correspond à 4,2 cm soit 0,9 m/s le cahier des charges est respecté.

On se limitera dans cette étude à un mouvement de nacelle combiné hauteur-roulis correspondant à la simulation d'une amorce de virage (tangage nul θ = 0).



$$\textbf{Q.7.} \ \overrightarrow{\Omega_{\text{b/0}}} = \dot{\beta}.\vec{x}_0 \ ; \ \overrightarrow{\Omega_{1/0}} = \vec{0} \ ; \boxed{\overrightarrow{\Omega_{2/1}} = \vec{0}} \ \text{et} \boxed{\overrightarrow{\Omega_{3/2}} = \dot{\psi}.\vec{y}_2}$$

 $\textbf{Q.8.} \text{ On connaît } \overrightarrow{V_{l,1/0}} = L.\dot{\beta}.\vec{z}_b \text{ de plus on a d'après la composition de mouvement : } \overrightarrow{V_{l,1/0}} = \overrightarrow{V_{l,1/2}} + \overrightarrow{V_{l,2/0}} = \overrightarrow{V_{l,2/0}} =$ et $\overrightarrow{V_{1,2/0}} = \overrightarrow{V_{1,2/3}} + \overrightarrow{V_{1,3/0}} = \overrightarrow{V_{1,3/0}}$

Par le champ des vitesses on peut ensuite écrire $\overrightarrow{V_{G.3/0}} = \overrightarrow{V_{I.3/0}} + \overrightarrow{GI} \wedge \overrightarrow{\Omega_{3/0}}$

Avec $\overrightarrow{GI} \wedge \overrightarrow{\Omega_{3/0}} = (-Y.\vec{y}_3 - Z.\vec{z}_3) \wedge \overrightarrow{\Omega_{3/0}} = (-Y.\vec{y}_3 - Z.\vec{z}_3) \wedge \dot{\psi}.\vec{y}_3 = Z.\dot{\psi}.\vec{x}_3$ (Par rapport aux résultats des applications numériques questions suivantes, il est plus logique que ce soit une coordonnée suivant \vec{z}_3 que suivant \vec{x}_3 pour le vecteur position \vec{GI}) $|\vec{V}_{G,3/0} = L.\dot{\beta}.\vec{z}_b + Z.\dot{\psi}.\vec{x}_3|$

⇒ En projection dans la base 3 :
$$V_{G,3/0} = \begin{vmatrix} Z.\dot{\psi} - L.\dot{\beta}.\cos\beta.\sin\psi \\ -L.\dot{\beta}.\sin\beta \\ +L.\dot{\beta}.\cos\beta.\cos\psi \end{vmatrix}$$

$$\textbf{Q.9.} \ \, \text{En d\'erivant} \ \, \overrightarrow{V_{\text{G,3/0}}} = \text{L.} \\ \dot{\beta}.\vec{z}_{\text{b}} + \text{Z.} \\ \dot{\psi}.\vec{x}_{\text{3}} \ \, \text{on obtient} \\ \boxed{ \overline{\Gamma_{\text{G,3/0}}} = \text{L.} \\ \ddot{\beta}.\vec{z}_{\text{b}} - \text{L.} \\ \dot{\beta}^{2}.\vec{y}_{\text{b}} + \text{Z.} \\ \ddot{\psi}.\vec{x}_{\text{3}} - \text{Z.} \\ \dot{\psi}^{2}.\vec{z}_{\text{3}} }$$

$$\overrightarrow{\Gamma_{G,3/0}} = \begin{vmatrix} Z.\ddot{\psi} - L.\ddot{\beta}.\cos\beta.\sin\psi + L.\dot{\beta}^2.\sin\beta.\sin\psi \\ - L.\ddot{\beta}.\sin\beta - L.\dot{\beta}^2.\cos\beta \\ + L.\ddot{\beta}.\cos\beta.\cos\psi - Z.\dot{\psi}^2 - L.\dot{\beta}^2.\sin\beta.\cos\psi \end{vmatrix}$$
 Q.10. A.N.: Pour t = 0,3 s, on a :

$$\beta = 0 \text{ rad} \qquad \dot{\beta} = 0 \text{ rad/s} \qquad \ddot{\beta} = 0 \text{ rad/s}^2 \qquad \psi = 0.13 \text{ rad} \qquad \dot{\psi} = 0.897 \text{ rad/s} \qquad \ddot{\psi} = 0 \text{ rad/s}^2$$

$$\overrightarrow{V_{G,3/0}} = \begin{vmatrix} 1 \times -0.897 & & \\ 0 & & \overrightarrow{\Gamma_{G,3/0}} = \\ 0 & & ce \text{ qui correspond aux valeurs du tableau} \\ -1 \times 0.897^2 = -0.804 \end{vmatrix}$$

Pour t = 0.6 s, on a:

Ce qui correspond là aussi aux valeurs du tableau.

Poste automatisé de dépose de joint liquide - Corrigé

Q.1. Chaine cinématique ouverte avec 6 DDL \rightarrow robot 6 axes

$$\overrightarrow{O_0M} = \overrightarrow{O_0O_1} + \overrightarrow{O_1O_2} + \overrightarrow{O_2O_3} + \overrightarrow{O_3O_4} + \overrightarrow{O_4O_5} + \overrightarrow{O_5M}$$

$$\rightarrow \overrightarrow{O_0M} = \overrightarrow{a.x_0} + \overrightarrow{b.z_0} - \overrightarrow{f.y_0} + \overrightarrow{c.z_2} + \overrightarrow{d.x_3} + \overrightarrow{f.y_3} + \overrightarrow{e.x_3} + \overrightarrow{h.y_4} + \overrightarrow{g.x_5} - \overrightarrow{h.y_6} - \overrightarrow{l.z_6}$$

$$\rightarrow \overrightarrow{O_0M} = \overrightarrow{a.x_0} + \overrightarrow{b.z_0} - \overrightarrow{f.y_0} + \overrightarrow{c.z_2} + \overrightarrow{d.x_3} + \overrightarrow{f.y_0} + \overrightarrow{e.x_3} + \overrightarrow{h.y_0} + \overrightarrow{g.x_5} - \overrightarrow{h.y_0} - \overrightarrow{l.z_3}$$

$$\vec{z}_{2} = \cos \theta_{12}.\vec{z}_{0} + \sin \theta_{12}.\vec{x}_{0}
\vec{x}_{3} = -\sin(\theta_{12} + \theta_{23}).\vec{z}_{0} + \cos(\theta_{12} + \theta_{23}).\vec{x}_{0}
\vec{z}_{3} = \cos(\theta_{12} + \theta_{23}).\vec{z}_{0} + \sin(\theta_{12} + \theta_{23}).\vec{x}_{0}$$

$$\overrightarrow{O_0M} = \begin{vmatrix} a+c.\sin\theta_{12} + (d+e+g).\cos(\theta_{12} + \theta_{23}) - l.\sin(\theta_{12} + \theta_{23}) \\ 0 \\ b+c.\cos\theta_{12} - (d+e+g).\sin(\theta_{12} + \theta_{23}) - l.\cos(\theta_{12} + \theta_{23}) \end{vmatrix}$$

Pour
$$\theta_{12} = -\theta_{23}$$
:
$$\boxed{\begin{matrix} O_0M = \\ O_0M = \end{matrix}} \begin{vmatrix} a+c.\sin\theta_{12} + (d+e+g) \\ 0 \\ b+c.\cos\theta_{12} - I \end{vmatrix}$$

$$\textbf{Q.2.} \ \overrightarrow{V_{B,\,2/1}} = \overrightarrow{V_{B/1}} = \frac{d}{dt} \overrightarrow{AB} \bigg|_1 = \frac{d}{dt} I_2 . \vec{x}_2 \bigg|_1 = I_2 . \vec{\theta}_{12} . \vec{y}_2 \ \Rightarrow \boxed{\overrightarrow{V_{B,\,2/1}} = I_2 . \vec{\theta}_{12} . \vec{y}_2}$$

Q.3. ABEG parallélogramme $\rightarrow \vec{x}_1$ reste horizontal \rightarrow 5/1 mouvement de translation circulaire.

$$\overrightarrow{V_{B,2/1}} = \overrightarrow{V_{B,2/5}} + \overrightarrow{V_{B,5/1}}$$
 (composition de mouvement)

et $\overrightarrow{V_{B,2/5}} = \overrightarrow{0}$ car 2/5 est une liaison pivot parfaite.

$$\overrightarrow{V_{B,5/1}} = \overrightarrow{V_{C,5/1}} + \overrightarrow{BC} \wedge \overrightarrow{\Omega_{5/1}}$$
 (champ des vecteurs vitesse)

et $\Omega_{5/1} = \vec{0}$ puisque 5/1 mouvement de translation circulaire.

$$\overrightarrow{V_{C,5/1}} = \overrightarrow{V_{C,5/7}} + \overrightarrow{V_{C,7/1}}$$
 (composition de mouvement)

et $\overrightarrow{V_{C.5/7}} = \vec{0}$ car 5/7 est une liaison pivot parfaite.

$$\Rightarrow \overrightarrow{\overline{V_{B,2/1}}} = \overrightarrow{V_{C,7/1}} = I_2.\dot{\theta}_{12}.\vec{y}_2$$

Q.4.
$$\overrightarrow{V_{D,7/1}} = \overrightarrow{V_{C,7/1}} + \overrightarrow{DC} \wedge \overrightarrow{\Omega_{7/1}}$$
 (champ des vecteurs vitesse)

$$\rightarrow \overrightarrow{V_{D_{1},7/1}} = I_{2}.\dot{\theta}_{12}.\vec{y}_{2} + \left(-I_{7}.\vec{x}_{7} + h_{7}.\vec{y}_{7}\right) \wedge \dot{\theta}_{17}.\vec{y}_{7}$$

$$\rightarrow \boxed{\overrightarrow{V_{D,7/1}}} = \overrightarrow{I_2}.\dot{\overrightarrow{\theta}_{12}}.\overrightarrow{\overrightarrow{\gamma}_2} - \overrightarrow{I_7}.\dot{\overrightarrow{\theta}_{17}}.\overrightarrow{\overrightarrow{z}_7}$$

Q.5. $\overrightarrow{V_{P,\,8/1}} = \overrightarrow{V_{D,\,8/1}} + \overrightarrow{PD} \wedge \overrightarrow{\Omega_{\,8/1}}$ (champ des vecteurs vitesse)

où $\overline{V_{D,\,8/1}} = \overline{V_{D,\,8/7}} + \overline{V_{D,\,7/1}}$ (composition de mouvement) et $\overline{V_{D,\,8/7}} = \vec{0}$ car 8/7 est une liaison pivot parfaite.

$$\rightarrow \overrightarrow{V_{P,8/1}} = I_2 \cdot \dot{\theta}_{12} \cdot \vec{y}_2 - I_7 \cdot \dot{\theta}_{17} \cdot \vec{z}_7 + I_8 \cdot \vec{y}_7 \wedge (\dot{\theta}_{78} + \dot{\theta}_{17}) \vec{y}_7$$

$$\rightarrow \overrightarrow{|\nabla_{P_{r,8/1}}} = |_{2}.\dot{\theta}_{12}.\vec{y}_{2} - |_{7}.\dot{\theta}_{17}.\vec{z}_{7}|$$

Q.6. $\overrightarrow{V_{P,8/0}} = \overrightarrow{V_{P,8/1}} + \overrightarrow{V_{P,1/0}}$ (composition de mouvement)

où $\overrightarrow{V_{P,1/0}} = \overrightarrow{V_{A,1/0}} + \overrightarrow{PA} \wedge \overrightarrow{\Omega_{1/0}}$ (champ des vecteurs vitesse) et $\overrightarrow{V_{A,1/0}} = \overrightarrow{0}$ car 1/0 est une liaison pivot parfaite.

$$\Rightarrow \overrightarrow{|\overrightarrow{V_{P,\,8/0}} = \overrightarrow{V_{P,\,8/1}} + \overrightarrow{PA} \wedge \overrightarrow{\Omega_{1/0}}}$$

Q.7.
$$\overrightarrow{PA} \wedge \overrightarrow{\Omega_{1/0}} = (\overrightarrow{PD} + \overrightarrow{DC} + \overrightarrow{CB} + \overrightarrow{BA}) \wedge \overrightarrow{\Omega_{1/0}}$$

$$\overrightarrow{\mathsf{PA}} \wedge \overrightarrow{\Omega_{1/0}} = \left(\mathsf{I}_8.\vec{\mathsf{y}}_7 - \mathsf{I}_7.\vec{\mathsf{x}}_7 + \mathsf{h}_7.\vec{\mathsf{y}}_7 - \mathsf{I}_5.\vec{\mathsf{x}}_1 - \mathsf{I}_2.\vec{\mathsf{x}}_2\right) \wedge \dot{\theta}_{01}.\vec{\mathsf{y}}_7 \\ = -\mathsf{I}_7.\vec{\mathsf{x}}_7 \wedge \dot{\theta}_{01}.\vec{\mathsf{y}}_7 - \mathsf{I}_5.\vec{\mathsf{x}}_1 \wedge \dot{\theta}_{01}.\vec{\mathsf{y}}_1 - \mathsf{I}_2.\vec{\mathsf{x}}_2 \wedge \dot{\theta}_{01}.\vec{\mathsf{y}}_1 \\ = -\mathsf{I}_7.\vec{\mathsf{x}}_7 \wedge \dot{\theta}_{01}.\vec{\mathsf{y}}_7 - \mathsf{I}_5.\vec{\mathsf{x}}_1 \wedge \dot{\theta}_{01}.\vec{\mathsf{y}}_1 - \mathsf{I}_2.\vec{\mathsf{x}}_2 \wedge \dot{\theta}_{01}.\vec{\mathsf{y}}_1 \\ = -\mathsf{I}_7.\vec{\mathsf{y}}_7 \wedge \dot{\theta}_{01}.\vec{\mathsf{y}}_7 - \mathsf{I}_5.\vec{\mathsf{y}}_1 - \mathsf{I}_2.\vec{\mathsf{y}}_2 \wedge \dot{\theta}_{01}.\vec{\mathsf{y}}_1 \\ = -\mathsf{I}_7.\vec{\mathsf{y}}_7 \wedge \dot{\theta}_{01}.\vec{\mathsf{y}}_7 - \mathsf{I}_5.\vec{\mathsf{y}}_1 - \mathsf{I}_2.\vec{\mathsf{y}}_2 \wedge \dot{\theta}_{01}.\vec{\mathsf{y}}_1 \\ = -\mathsf{I}_7.\vec{\mathsf{y}}_1 - \mathsf{I}_7.\vec{\mathsf{y}}_1 - \mathsf{I}_7.\vec{\mathsf{y}}_2 - \mathsf{I}_7.\vec{\mathsf{y}}_1 - \mathsf{I}_7.\vec{\mathsf{y}}_2 - \mathsf{I}_7.\vec{\mathsf{y}}_1 - \mathsf{I}_7.\vec{\mathsf{y}}_2 - \mathsf{I}_7.\vec{\mathsf{$$

$$(\vec{y}_7 = \vec{y}_1)$$

$$\overrightarrow{\mathsf{PA}} \wedge \overrightarrow{\Omega_{1/0}} = -\mathsf{I}_7.\dot{\theta}_{01}.\vec{\mathsf{z}}_7 - \mathsf{I}_5.\dot{\theta}_{01}.\vec{\mathsf{z}}_1 - \mathsf{I}_2.\dot{\theta}_{01}.\mathsf{cos}\,\theta_{12}.\vec{\mathsf{z}}_1$$

$$\rightarrow \overrightarrow{V_{P,\,8/0}} = I_2.\dot{\theta}_{12}.\vec{y}_2 - I_7.\dot{\theta}_{17}.\vec{z}_7 - I_7.\dot{\theta}_{01}.\vec{z}_7 - I_5.\dot{\theta}_{01}.\vec{z}_1 - I_2.\dot{\theta}_{01}.\cos\theta_{12}.\vec{z}_1$$

$$\Rightarrow \boxed{\overrightarrow{V_{P,\,8/0}} = I_2.\dot{\theta}_{12}.\overrightarrow{v}_2 - I_7.(\dot{\theta}_{01} + \dot{\theta}_{17}).\overrightarrow{z}_7 - (I_5. + I_2.\cos\theta_{12}).\dot{\theta}_{01}.\overrightarrow{z}_1}$$

Q.8

$$\begin{aligned} |\overrightarrow{\Gamma_{P,\,8/0}} = I_2. & \ddot{\theta}_{12}. \vec{y}_2 + I_2. \dot{\theta}_{12}. \frac{d}{dt} \vec{y}_2 \bigg|_0 - I_7. \Big(\ddot{\theta}_{01} + \ddot{\theta}_{17} \Big) \vec{z}_7 - I_7. \Big(\dot{\theta}_{01} + \dot{\theta}_{17} \Big) \frac{d}{dt} \vec{z}_7 \bigg|_0 - \Big(I_5. + I_2. \cos \theta_{12} \Big). \ddot{\theta}_{01}. \vec{z}_1 + I_2. \dot{\theta}_{12}. \sin \theta_{12}. \dot{\theta}_{01}. \vec{z}_1 \\ & - \Big(I_5. + I_2. \cos \theta_{12} \Big). \dot{\theta}_{01}. \frac{d}{dt} \vec{z}_1 \bigg|_0 \end{aligned}$$

Avec:
$$\frac{d}{dt}\vec{y}_2\Big|_0 = \frac{d}{dt}\vec{y}_2\Big|_1 + \overrightarrow{\Omega}_{20} \wedge \vec{y}_2 = (\dot{\theta}_{01}.\vec{y}_1 + \dot{\theta}_{12}.\vec{z}_2) \wedge \vec{y}_2 = \dot{\theta}_{01}.\sin\theta_{12}.\vec{z}_2 - \dot{\theta}_{12}.\vec{x}_2$$

$$\frac{d}{dt}\vec{z}_{7}\Big|_{0} = \frac{d}{dt}\vec{z}_{7}\Big|_{7} + \overrightarrow{\Omega}_{70} \wedge \vec{z}_{7} = (\dot{\theta}_{01} + \dot{\theta}_{17}).\vec{y}_{7} \wedge \vec{z}_{7} = (\dot{\theta}_{01} + \dot{\theta}_{17}).\vec{x}_{7}$$

$$.\frac{d}{dt}\vec{z}_1\bigg|_0 = \dot{\theta}_{01}.\vec{x}_1$$